

붕소 붕치를 포함하는 유기 화합물의 합성과 특성분석

이종대[†]

Synthesis and Characterization of Boronated Organic Compounds

LEE, Jong-Dae[†]

Abstract

A method for synthesizing *o*-carborane substituted tetrahydroindoles derivatives, starting from tryptamine, is described. In vitro studies showed the desired compounds **9** and **10** synthesized accumulate to high levels in B-16 melanoma cells with low cytotoxicity.

Key Words : BNCT, phenethylamine, tryptamine, heterocycles, carboranes

서 론

식물과 동물계에 널리 분포하는 isoquinoline alkaloids 화합물은 이들의 생물학적 특이성으로 인해 많은 연구가 진행되고 있다.^[1] 예를 들면, 질소 원소를 포함하는 1,2,3,4-tetrahydroisoquinolines 유도체들은 포유동물들의 뇌 세포에 많이 존재하며 다양한 정신 질환의 치료에 중요한 역할을 하는 것으로 알려져 있다.^[2] 이와 같은 화합물들 중, 1-arylmethyl-1,2,3,4-tetrahydroisoquinolines (THIQ, Fig. 1)은 신경이완제로서 도파민 길항제 후보물질로 이미 보고되었다.^[3] 이와 같은 특성은 붕소 원소 10개를 포함하는 carborane이 치환되어 있는 tetrahydroisoquinolines이 뇌암 치료를 위한 붕소 원소의 전달체로서 역할을 가능하게 할 것으로 판단된다.

붕소-중성자포획요법(Boron Neutron Capture Therapy, BNCT)은 Locher 박사에 의해 1936년에 암 치료의 가능성에 대해 처음 소개가 되었다.^[4] 자연계에 존재하는 붕소의 동위원소(¹⁰B과 ¹¹B) 중 20% 가량 존재하는 ¹⁰B은 원자로로부터 방출되는 열중성자와 반응하여 들뜬 상태인 [¹¹B]^{*} 중간체가 형성되고 불안정한 중간체는 곧바로 ⁴He (α -particle)와 ⁷Li으로 분열된다. 이

때 발생하는 에너지를 이용하여 암세포를 파괴하는 것이 BNCT의 핵심이라 할 수 있다. 그러나, 암 환자를 대상으로 한 대부분의 연구에서 아직까지 괄목할만한 결과를 얻어내지는 못한 실정이다.^[5] 그 이유로 암 환자에게 투여되는 약물로서의 붕소 화합물은 정상 세포보다는 암 세포에 선택적으로 집적되어야 하는 동시에 물에 대한 용해도가 높아야 효과적인 치료가 진행될 수 있기 때문이다.^[6]

Tetrahydroisoquinolines을 붕소 운반체로 이용하기 위해 한 분자 내에 열 개의 붕소 원소를 포함하는, C₂B₁₀H₁₂로 알려져 있는, carborane이 치환되어 있는 화합물을 합성하였다. BNCT법을 적용함에 있어 높은 붕소 농도를 갖는 carborane은 많은 장점을 갖고 있다.^[7] 또한 tetrahydroisoquinolines의 생물학적 활성과 합성

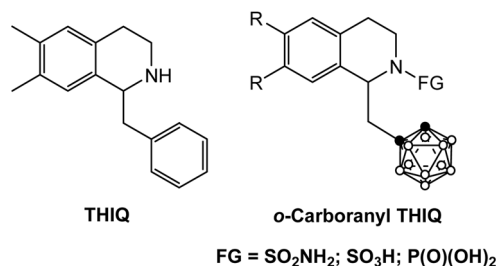


그림 1. Tetrahydroisoquinoline 유도체들
Fig. 1. 1,2,3,4-Tetrahydroisoquinolines (THIQ) and *o*-Carboranyl THIQ.

조선대학교 자연과학대학 화학과(Department of Chemistry, Chosun University)

[†]Corresponding author: jdllee@chosun.ac.kr
(Received : April 27, 2008, Revised : May 30, 2008
Accepted : June 18, 2008)

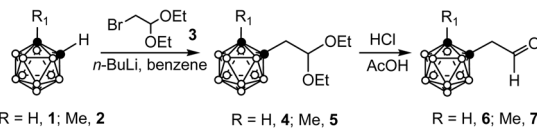
방법의 용이성은 이들 화합물이 중요한 화합물로서 주목을 받기에 충분하고, 그 결과로서, 몇몇 효과적인 합성법이 발표되었다.^[8] 그 중 가장 효과적인 합성법은 아릴아민과 산 조건 하에서 알데히드 작용기를 갖는 화합물을 이용하면 이미늄(iminium ion) 중간체를 형성하는 친전자성 방향족 치환반응이 진행됨으로써 새로운 형태의 아릴아민 화합물을 합성하는 것이다.^[9]

따라서, carboranylacetaldehydes(6, 7)를 합성한 다음 이 화합물을 분자내 고리화반응에 적용하였다. 이 논문에서는 아릴기 대신 carborane 화합물을 이용하여 새로운 형태의 화합물 9 그리고 10을 합성하였다.

본 론

출발 물질로 사용되는 carboranylacetaldehydes는 Rudolph에^[10] 의해 이미 알려져 있는 합성 방법을 이용하여 아래 식 1에 나타낸 경로를 통하여 합성하였다.

Carboranylacetaldehyde diethylacetals (4, 5)과 carboranylacetaldehydes (6, 7)의 합성. 식 1에 보여

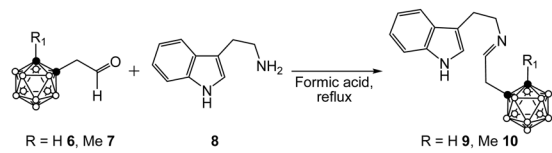


식 1. 화합물 4-7의 합성
Scheme 1. Synthesis of *o*-Carboranylacetaldehyde diethylacetal (4, 5) and *o*-carboranylacetaldehyde (6, 7).

지는 것과 같이, *o*-carborane 유도체 [R₁=H 1, Me 2]의 수소제거반응에 의해 준비된 출발물질로부터 시작한다. 벤젠 용매에 녹인 *o*-carborane 유도체를 같은 당량의 *n*-BuLi과 반응시킨 다음, bromoacetaldehyde diethylacetal (3)과 반응시키면 얻고자 하는 출발물질 (R₁=H 4, Me 5)를 각각 78-80%의 수득율로 얻을 수 있다. 또한 4, 5번 화합물을 아세트 산 조건하에서 HCl 처리를 하면 알데히드 형태의 화합물 6 그리고 7을 각각 82-88%의 수득율로 얻을 수 있다.

화합물 9 그리고 10의 합성 Pictet-Spengler 분자내 고리화반응 조건을^[11] 이용하여 *o*-carboranylacetaldehydes(6, 7)와 트립타민(tryptamine) (8)을 반응시켜 화합물 9 그리고 10을 합성한다 (식 2).

아릴아민과 알데히드를 이용하는 분자내 고리화반응은 앞서 발표된 논문에서와 마찬가지로 이번 실험에서도 매우 유용한 합성법이라 할 수 있다. 따라서, 이번



식 2. 화합물 9 그리고 10의 합성
Scheme 2. Synthesis of compounds 9 and 10

반응에서도 포름 산, 12시간 환류 조건하에서 아릴아민으로는 tryptamine(8)을, 알데히드로는 carboranylacetaldehyde(6)를 이용하여 기존에 알려진 반응에서의 수득율보다는 다소 낮은 33%의 수득율로 새로운 화합물을 분리해 낼 수 있다. 이 반응의 경우, 색의 변화로 반응의 진행 여부를 관찰할 수 없어 TLC를 이용하여 출발 물질인 아릴아민이 더 이상 존재하지 않는 것을 확인함으로써 반응이 종결되는 시점을 알아 내었다. 마찬가지로 방법으로 carboranylacetaldehyde diethylacetal(7)을 이용하여 화합물 10을 얻어낼 수 있다. *o*-Carborane 경우, 산 조건에서의 안정성이 뛰어난 것으로 알려져 있다.^[12] 이 반응을 통해 얻어진 화합물 9 그리고 10은 반응을 끝낸 다음 column chromatography법을 이용하여 깨끗하게 분리해 낼 수 있다. 분리된 화합물들은 표 1에 나타낸 것과 같이 적외선 분광법(Infrared spectroscopy, IR), 핵자기 분광법(¹H 그리고 ¹³C NMR)과 원소분석(elemental analysis)을 통해 확인할 수 있다.

결 론

결론적으로, 2번 위치에 붕소 붕치 화합물이 치환되어 있는 tetrahydroindole 유도체를 합성하기 위해 기존에 알려진 방법을 이용하였으나 tetrahydroisoquinolines 합성 때와는 다른 반응 경향성을 보여줌으로써 tryptamine을 이용할 경우 고리화 반응이 쉽게 진행되지 않는다는 것을 ¹H 핵자기공명 분광법을 이용하여 확인할 수 있었다. 그러나, 고리화 반응이 진행되지는 않았지만 최종 화합물이 이민(imine) 형태를 취하고 있음을 적외선 분광법에서 탄소-질소 이중결합과 붕소-수소 결합에 해당되는 스펙트럼을 확인할 수 있었다. 이와 같은 결과를 바탕으로 붕소-중성자포획요법에 적용가능한 화합물임을 알 수 있었다. 또한 B-16 melanoma 세포를 이용한 세포내 독성 실험과 붕소 집적 실험(boron accumulation study)을 통해 화합물의 높은 지용성으로 인해 높은 독성을 갖고 있음을 알 수 있었다 (표2).

표 1. 화합물 4-7, 9, 그리고 10에 대한 분광학적 데이터

Entry	No.	Yield (%)	Mp (°C)	IR (cm ⁻¹) B-H	¹ H NMR (δ)				¹³ C NMR (δ)			
					O=CH		C(α)		O=CH		C(α)	
1	4	77		2590	2.52 <i>J</i> = 1.8 Hz				15.1			
2	5	82		2584	2.56 <i>J</i> = 1.8 Hz				15.1			
3	6	71		2592	9.49 <i>J</i> = 8.0 Hz		3.42 <i>J</i> = 8.0 Hz		196.6		47.1	
4	7	73		2590	9.55 <i>J</i> = 8.5 Hz		3.45 <i>J</i> = 8.5 Hz		196.6		45.4	
					C(1)	C(3)	C(4)	C(α)	C(1)	C(3)	C(4)	C(α)
5	9	33	107-108	2578	7.64	3.44, 3.52	3.81, 3.85	4.85	122.5	42.4	38.2	24.4
6	10	38	115-117	2585	7.70	3.11, 3.24	3.61, 3.76	4.28	123.4	41.8	38.4	24.9

표 2. B-16 melanoma 세포를 이용한 화합물 9 그리고 10의 화합물의 세포내 독성 실험 및 붕소 집적 실험

Entry	No.	IC ₅₀ (M)	Boron Uptake (μg B/10 ⁶ cells) ^b	Water Solubility (mol/mL)
1	9	7.78 × 10 ⁻⁵	3.28 ± 0.37	0.67 × 10 ⁻⁶
2	10	9.42 × 10 ⁻⁵	3.67 ± 0.16	0.88 × 10 ⁻⁶
3	BPA ^c	8.63 × 10 ⁻³	0.083 ± 0.012	

^aB-16: B-16 melanoma cells.

^bBoron uptake by B-16 cells was determined using the ICP-AES method.^[13] Briefly, cells were cultured in Falcon dishes (90 mmφ) until they grew to fill the dishes (~3.0 × 10⁶ cells/dish). Cells were then incubated for 3 h with Eagle-MEM medium containing one of the test compounds (boron concentration: 10.8 ppm). After 3 h, the cells were washed three times with PBS(-) and processed for determination of the boron concentration by ICP-AES. Each experiment was carried out in triplicate.

^cBPA: *p*-Boronophenylalanine

실험방법

이번 실험에 사용된 기기로는 적외선 분광기(Biora FTS-165), 핵자기공명 분광기(JEOL FT/NMR, 500 MHz)를 사용하였다. 화학적 이동(δ)은 Me₄Si를 기준으로 하였고 짝지음 상수(*J* value)는 hertz (Hz)로 표시하였다. 원소분석은 Carlo Erba Instruments CHNS-O EA1108 analyzer를 이용하여 측정하였다. 출발물질은 *o*-carborane은 Katchem으로부터 수입하여 정제과정을 거치지 않고 사용하였고 그 밖의 시약들(*n*-BuLi, Bromoacetaldehyde diethyl acetal, 그리고 tryptamine)은 Aldrich사로부터 구입하여 그대로 사용하였다. 용매의 경우 최상급 제품을 사용하여 Na 금속과 벤조페논을 이용하여 정제화과정을 거친 다음 사용하였다.

화합물 4의 합성 오르토카보란 1 (1.44 g, 10.0 mmol)을 정제화 과정을 거친 벤젠 용매(200 mL)에 녹

인다. 이 용액을 얼음 중탕을 이용하여 0 °C로 온도를 낮춘 다음 *n*-BuLi를 주사기를 이용하여 천천히 적가한다. 적가가 끝나면 얼음 중탕을 끝내고 5분간 환류시킨 후 다시 얼음 중탕을 이용하여 용액을 온도를 낮춘다. 그런 다음, bromoacetaldehyde diethyl acetal (3) (5.0 mL, 10.0 mmol)을 10 mL의 벤젠 용액에 희석시켜 적가 깔때기를 이용하여 천천히 적가한다. 적가가 끝나면 얼음 중탕을 제거하고 천천히 상온으로 용액의 온도를 높이면 흰색 고체가 생성되는 것을 확인할 수 있다. 흰색 고체가 확인되면 그 상태를 계속 유지하면서 상온에서 12시간을 교반시킨다. 12시간 후, 반응 혼합물을 분별 깔때기로 옮기고 Et₂O(100 mL × 2)를 이용하여 희석시킨 후 증류수(100 mL × 3)를 이용하여 유기 용액 층을 충분히 씻어준다. 그런 다음, 무수 MgSO₄를 이용하여 건조한 다음 회전 증발기를 이용하여 용매를 모두 제거하고 진공 펌프를 이용하여 건조하면 얻은 노란색 오일 형태의 화합물 4를 77 % (2.00 g)의 수득율로 얻을 수 있다. IR (KBr pellet, cm⁻¹) ν(B-H) 2590, ν(C-H) 3056. ¹H NMR (DMSO-*d*6) δ 1.12 (t, 6H, *J* = 2.3 Hz), 2.52 (d, 2H, *J* = 1.8 Hz), 3.37 (br s, 1H), 3.45-3.56 (m, 4H), 4.51 (t, 1H, *J* = 1.8 Hz). ¹³C NMR (DMSO-*d*6) δ 15.1, 30.7, 61.3, 61.8, 72.4, 100.2. 화합물 5: 수득율 82 % (2.25 g). IR (KBr pellet, cm⁻¹) ν(B-H) 2584, ν(C-H) 3057. ¹H NMR (DMSO-*d*6) δ 1.12 (t, 6H, *J* = 2.3 Hz), 2.51 (s, 3H), 2.56 (d, 2H, *J* = 1.8 Hz), 3.48-3.59 (m, 4H), 4.56 (t, 1H, *J* = 1.8 Hz). ¹³C NMR (DMSO-*d*6) δ 15.1, 22.7, 32.8, 61.3, 75.6, 76.2, 100.7.

o-Carboranylacetaldehyde (6)의 합성 앞서 합성된 화합물 4 (2.7 g, 5.0 mmol)을 아세트 산에 녹인 다음 과량의 진한 염산을 적가한 후 상온에서 8시간 동안 교반한다. 반응이 끝나면 증류수 30 mL를 첨가한 다음 과량의 Et₂O (20 mL × 2)를 이용하여 희석한다. 분별깔때기를 이용하여 유기 층을 증류수로 씻어낸 다음

10 % NaHCO₃ 수용액(20 mL × 2)을 이용하여 한번 더 씻어준다. 유기 층은 무수 MgSO₄를 이용하여 건조한 다음 회전 증발기를 이용하여 유기 용매를 제거한다. 진공 펌프를 이용하여 건조하면 흰색 고체인 화합물 **6** 을 71 % (0.66 g)의 수득율로 얻을 수 있다. IR (KBr pellet, cm⁻¹) ν(B-H) 2592, ν(C-H) 3063, ν(C=O) 1739. ¹H NMR (DMSO-*d*₆) δ 3.42 (d, 2H, *J* = 8.0 Hz), 3.65 (br s, 1H), 9.49 (t, 1H, *J* = 8.0 Hz). ¹³C NMR (DMSO-*d*₆) δ 47.1, 62.7, 69.2, 196.6. 화합물 **7** : 수득율. 73 % (0.73 g). IR (KBr pellet, cm⁻¹) ν(C=O) 1740, ν(B-H) 2590, ν(C-H) 3044. ¹H NMR (DMSO-*d*₆) δ 2.50 (s, 3H), 3.45 (d, 2H, *J* = 8.5 Hz), 9.55 (t, 1H, *J* = 8.5 Hz). ¹³C NMR (DMSO-*d*₆) δ 22.6, 45.4, 76.1, 76.8, 196.6.

화합물 9의 합성 아릴에틸아민 (**8**) (0.32 g, 2.0 mmol)이 녹아있는 포름 산 용액에 *o*-carboranylacetaldehyde (**6**) 을 첨가한 다음 12시간 동안 환류시킨다. 과량의 증류수(20 mL)를 이용하여 반응을 끝낸 다음 과량의 에틸 아세테이트를 이용하여 회석시킨다. 유기 용액 층은 과량의 증류수를 이용하여 여러 번 씻어준다. 무수 MgSO₄를 이용하여 유기 용액 층을 건조한 다음 회전 증발기를 이용하여 유기용매를 제거한 후 진공펌프를 이용하여 건조시킨다. Column chromatography법을 이용하여 화합물을 정제하면 화합물 **9**를 33 % (0.22 g)의 수득율로 얻을 수 있다. mp 107-108 °C. Anal. Calcd for C₁₄H₂₄B₁₀N₂: C, 51.19; H, 7.36; N, 8.53. Found: C, 51.23; H, 7.55; N, 8.38. IR (KBr pellet, cm⁻¹) ν(B-H) 2578, ν(C-H) 3070, ν(C=N) 1694, ν(N-H) 3238. ¹H NMR (DMSO-*d*₆) δ 3.28 (br s, 1H), 3.44 (m, 1H), 3.52 (m, 1H), 3.81 (m, 1H), 3.85 (m, 1H), 4.85 (s, 2H), 7.10-7.35 (m, 4H), 7.64 (s, 1H), 10.12 (s, 1H). ¹³C NMR (DMSO-*d*₆) δ 26.9, 38.0, 41.8, 56.7, 62.3, 73.8, 110.8, 112.7, 113.5, 128.3, 134.8, 135.8, 137.8, 145.3. 화합물 **10**: 수득율. 38% (0.26 g). mp 115-117 °C; Anal. Calcd for C₁₅H₂₇B₁₀N₂: C, 52.45; H, 7.92; N, 8.16. Found: C, 52.38; H, 8.12; N, 8.17. IR (KBr pellet, cm⁻¹) ν(B-H) 2585, ν(C-H) 3220, ν(C=N) 1702, ν(N-H) 3235. ¹H NMR (DMSO-*d*₆) δ 2.16 (s, 3H), 3.11 (m, 1H), 3.24 (m, 1H), 3.61 (m, 1H), 3.76 (m, 1H), 4.28 (s, 2H), 7.08-7.44 (m, 4H), 7.70 (s, 1H), 10.15 (s, 1H). ¹³C NMR (DMSO-*d*₆) δ 22.8, 26.0, 37.9, 45.5, 56.8, 76.7, 77.0, 111.6, 112.8, 113.6, 128.5, 135.4, 140.2, 141.3, 144.9.

IC₅₀ 결정 붕소 화합물(20 mg)을 1.0 mL DMSO에 녹인 다음, 잘 알려진 바와 같이 0.5 % 이하의 DMSO는

독성을 나타내지 않으므로, Eagle's MEM (10 % FCS) 로 희석시킨다. 기준 물질로 사용되는 BPA도 같은 방법으로 준비한다. Falcon 3072 96-well culture plate에 세포수가 1 × 10³ (cells/well)정도 되도록 배양한 다음 약물의 농도를 1-100 ppm 범위로 실험을 진행한다. 약물을 주입한 다음 37 °C, 5 % CO₂ incubator에서 3일간 배양한다. 배양액을 제거한 다음, 세포를 PBS (-) (phosphate-buffered saline)용액으로 세 번 씻어낸 다음 MTT 시약을 사용하여 세포를 염색시킨 후 Microplate reader를 사용하여 IC₅₀를 결정한다.

B-16 Melanoma 세포에 대한 붕소 원소의 집적을 결정 B-16 melanoma 세포를 Falcon 3025 dishes (90 mm ø)에 3.0 × 10⁶ (cells/dish)정도의 세포수가 증식할 때까지 배양한 다음 화합물 **9** 그리고 **10**을 각각 1.0 × 10⁻⁴ M, 10.8 ppm boron의 농도로, 기준 물질로 사용되는 BPA를 1.0 × 10⁻³ M, 10.8 ppm boron의 농도로 세포를 배양한 배양접시에 넣어준다. 37 °C, 5 % CO₂ incubator에서 3시간 배양한 다음, Ca-Mg free phosphate buffered saline [PBS (-)]용액으로 세 번 씻어준 다음, rubber policeman을 이용하여 세포를 모은 후 60 % HClO₄-30 % H₂O₂ (1:2) 용액 2 mL를 이용하여 회석시킨 다음 75 °C로 가열하면서 세포를 파괴시킨다. 이 용액을 membrane filter (Millipore, 0.22 mm)를 이용하여 여과한 다음 붕소 농도를 ICP-AES (Shimadzu, ICPS-1000-III)를 이용하여 측정한다. 이 실험은 세 번 반복한 후 평균을 내어 표 2에 나타내었다.

참고문헌

- [1] (a) Li, G.-Y.; Li, B.-G.; Yang, T.; Liu, G.-Y.; Zhang, G.-L. *Org. Lett.* **2006**, *8*, 3613. (b) Chrzanowska, M.; Rozwadowska, M. D. *Chem. Rev.* **2004**, *104*, 3341. (c) Sotomayor, N.; Domínguez, E.; Lete, E. *J. Org. Chem.* **1996**, *61*, 4062.
- [2] (a) Campiani, G.; Nacci, V.; Bechelli, S.; Ciani, S. M.; Garofalo, A.; Fiorini, I.; Wikstrom, H.; de Boer, P.; Liao, Y.; Tepper, P. G.; Cagnotto, A.; Mennini, T. *J. Med. Chem.* **1998**, *41*, 3763. (b) Campiani, G.; Butini, S.; Gemma, S.; Nacci, V.; Fattorusso, C.; Catalanotti, B.; Giorgi, G.; Cagnotto, A.; Goegan, M.; Mennini, T.; Minetti, P.; Di Cesare, M. A.; Mastroianni, D.; Scafetta, N.; Galletti, B.; Stasi, M. A.; Castorina, M.; Pacifici, L.; Ghirardi, O.; Tinti, O.; Carminati, P. *J. Med. Chem.* **2002**, *45*, 344.
- [3] Munchhof, M. J.; Meyers, A. I. *J. Org. Chem.* **1996**, *61*, 4607.
- [4] Locher, G. L. *Am. J. Roentgenol.* **1936**, *36*, 632.

- [5] (a) Wilbur, D. S.; Chyan, M.-K.; Hamlin, D. K.; Vessella, R. L.; Wedge, T. J.; Hawthorne, M. F. *Bioconjugate Chem.* **2007**, *18*, 1226. (b) Sibrian-Vazquez, M.; Hao, E.; Jensen, T. J.; Vicente, G. H. *Bioconjugate Chem.* **2006**, *17*, 928.
- [6] (a) Vyakaranam, K.; Rana, G.; Ratanasuwan, A.; Hosmane, S. N.; Maguire, J. A.; Hosmane, N. S. *Organometallics* **2002**, *21*, 3905. (b) Yinghuai, Z.; Peng, A. T.; Carpenter, K.; Maguire, J. A.; Hosmane, N. S.; Takagaki, M. *J. Am. Chem. Soc.* **2005**, *127*, 9875.
- [7] (a) Di Meo, C.; Panza, L.; Capitani, D.; Mannian, L.; Banzato, A.; Rondina, M.; Renier, D.; Rosato, A.; Crescenzi, V. *Biomacromolecules* **2007**, *8*, 552. (b) Narayanasamy, S.; Thirumamagal, B. T. S.; Johnsamuel, J.; Byun, Y.; Al-Madhoun, A. S.; Usova, E.; Cosquer, G. Y.; Yan, J.; Bandyopadhyaya, A. K.; Tiwari, R.; Eriksson, S.; Tjarks, W. *Bioorg. Med. Chem.* **2006**, *14*, 6886.
- [8] (a) Magnus, P.; Matthews, K. S. *J. Am. Chem. Soc.* **2005**, *127*, 12476. (b) Magnus, P.; Matthews, K. S.; Lynch, V. *Org. Lett.* **2003**, *5*, 2181.
- [9] (a) Li, Z.; Li, C.-J. *J. Am. Chem. Soc.* **2005**, *127*, 6968. (b) Monsees, A.; Laschat, S.; Dix, I. *J. Org. Chem.* **1998**, *63*, 10018.
- [10] Haushalter, R. C.; Butler, W. M.; Rudolph, R. W. *J. Am. Chem. Soc.* **1981**, *103*, 2620.
- [11] (a) Luo, S.; Zhao, J.; Zhai, H. *J. Org. Chem.* **2004**, *69*, 4548. (b) Yang, J.-E.; In, J.-K.; Lee, M.-S.; Kwak, J.-H.; Lee, H.; Lee, S. J.; Kang, H.-Y.; Suh, Y.-G.; Jung, J.-K. *Bull. Kor. Chem. Soc.* **2007**, *28*, 1401. (c) Yoon, B. H.; Lyu, H. S.; Hahn, J. H.; Ahn, C. M. *Bull. Kor. Chem. Soc.* **1992**, *13*, 290.
- [12] Williams, R. E. *Chem. Rev.* **1992**, *92*, 177.
- [13] Tietze, L. F.; Bothe, U.; Griesbach, U.; Nakaichi, M.; Hasegawa, T.; Nakamura, H.; Yamamoto, Y. *ChemBioChem* **2001**, *2*, 326.